

С 346.2 б

К-143



18/IV-64

ОБЪЕДИНЕННЫЙ ИНСТИТУТ ЯДЕРНЫХ ИССЛЕДОВАНИЙ
ЛАБОРАТОРИЯ ЯДЕРНЫХ ПРОБЛЕМ

Ю.М. Казаринов, Ф. Легар, Г. Петер, А.Ф. Писарев, К.М. Фальбрух

P-1617

ИЗМЕРЕНИЕ КОЭФФИЦИЕНТОВ
СПИНОВОЙ КОРРЕЛЯЦИИ C_{nn} И C_{kp}
В УПРУГОМ РР-РАССЕЯНИИ
ПРИ ЭНЕРГИИ 315 МЭВ
ПОД УГЛОМ 45° В С.Ц.М.

ЛеЭТФ, 1964, т47, 63, с 848-854.

Дубна 1964

Ю.М. Казаринов, Ф. Легар, Г. Петер, А.Ф. Писарев, К.М. Фальбрух

P-1617

1971-26

Л/112

2395/3
измерение коэффициентов
спиновой корреляции c_{nn} и c_{kp}
в упругом РР-рассечении
при энергии 315 МэВ
под углом 45° в С.Ц.М.

Направлено в ЖЭТФ



Дубна 1964

P-1617

Казаринов Ю.М., Легар Ф., Петер Г.,
Писарев А.Ф., Фальбрух К.М.

Измерение коэффициентов спиновой корреляции
 C_{nn} и C_{kp} в упругом pp -рассеянии при энергии
315 Мэв под углом 45° в с.ц.м.

Методом искровых камер измерены коэффициенты спиновой корреляции C_{nn} и C_{kp} в упругом pp -рассеянии при энергии 315 Мэв под углом 45° в с.ц.м. Коэффициенты равны: $C_{nn} = +0,90 \pm 0,51$ и $C_{kp} = +0,74 \pm 0,51$. С учетом этих данных выполнен фазовый анализ pp -рассеяния при энергии 310 Мэв. Показано, что существование первого набора фазовых сдвигов, ранее найденных в работах¹⁻³, более вероятно, чем второго набора.

Препринт Объединенного института ядерных исследований.
Дубна. 1964.

P-1617

Kazarinov Yu.M., Lehar F., Peter G., Pisarev A.F., Vahlbruch K.M.

Measurement of the Spin Correlation Coefficients C_{nn} and C_{kp}
in Elastic 315 MeV Scattering at 45° (c.m.s.)

The spin correlation coefficients C_{nn} and C_{kp} in elastic 315 MeV pp -scattering at 45° (c.m.s.) have been measured by the spark chamber technique. The coefficients have been found to be as follows : $C_{nn} = + 0.90 \pm 0.51$ and $C_{kp} = + 0.74 \pm 0.51$. The phase shift analysis has been carried out with the account of the above data. The existence of the first phase shift set obtained earlier¹⁻³ is shown to be more probable than that of the second set.

Preprint. Joint Institute for Nuclear Research.
Dubna. 1964.

В 1957 году Стапп и др.^{1/} выполнили фазовый анализ для pp -рассеяния при энергии 315 Мэв и нашли пять различных решений. Позже Чиффра и др.^{2/}, применив модифицированный фазовый анализ, уменьшили число решений до двух. Эти два набора фазовых сдвигов затем подтвердились в работе Казаринова и Силина^{3/}, которые провели совместный анализ pp и pp -данных и учли экспериментальное значение коэффициента спиновой корреляции C_{nn} (315 Мэв, 90°), измеренного в Ливерпуле^{4/} и Дубне^{5/}.

Стало очевидно, что для однозначного определения фазовых сдвигов необходимо продолжить экспериментальные измерения новых параметров рассеяния и провести значительное уточнение экспериментальных данных, вошедших в фазовые анализы^{1-3/}. Из рассмотрения кривых зависимости параметров pp -рассеяния от угла рассеяния для первого и второго наборов фазовых сдвигов, вычисленных в работе^{6/}, следует, что наиболее чувствительными параметрами рассеяния к соответствующему набору фазовых сдвигов являются коэффициенты спиновой корреляции C_{nn} и C_{kp} под углом 45° в с.ц.м. Так, для первого набора фазовых сдвигов $C_{nn}(45^\circ) = 0,81 \pm 0,01$ и $C_{kp}(45^\circ) = +0,75 \pm 0,01$, а для второго набора - $C_{nn} = +0,31 \pm 0,03$ и $C_{kp} = +0,05 \pm 0,04$. Это обстоятельство побудило авторов настоящей работы выполнить измерения коэффициентов C_{nn} и C_{kp} на пучке протонов с энергией 315 Мэв под углом 45° .

Постановка эксперимента

Измерение коэффициентов C_{nn} и C_{kp} выполнялось на пучке протонов от синхроциклотрона ОИЯИ по схеме, изображенной на рис. 1. Протоны с энергией 660 Мэв тормозились в полиэтиленовом блоке до энергии 315 Мэв и рассеивались на водородосодержащей мишени (CH_2 - 140 кг/м²). Второе рассеяние протонов происходило на анализирующих мишенях, помещенных внутри искровых камер. Протоны, первично рассеянные под углом 21° л.с., имели энергию 269 Мэв и анализировались на алюминиевой мишени толщиной 270 кг/м². Протоны отдачи имели энергию около 29 Мэв и вторично рассеивались на мишени из сцинтилирующей пластмассы (CH_2) толщиной 5,5 кг/м². Эта мишень одновременно являлась и элементом счетчика 3 (см. рис. 1). Конструкция и характеристики искровых камер, использованных в эксперименте, опубликованы в работе^{7/}. Акты упругого pp -рассеяния выделялись счетчиками 1, 2 и 3, включенными в схему совпадений с временем разрешения $2 \cdot 10^{-8}$ сек, а рассеяние на

анализирующих мишениях - счетчиками 4, 5 и 6, включенными в схему антисовпадений с разрешением $4 \cdot 10^{-8}$ сек. Этими схемами выделялись случаи тройного рассеяния протонов и осуществлялся запуск высоковольтного импульсного генератора, питавшего искровые камеры. Регистрация протонов в камере после рассеяния на алюминиевой мишени и мишени из сцинтилирующей пластмассы производилась в интервале углов от 5° до 40° и от 23° до 70° , соответственно. Однако в последующем анализе треков принимались во внимание только треки тех частиц, которые в результате второго рассеяния попадали в интервалы углов 8° - 29° и 30° - 80° , соответственно. Эта мера позволила избежать асимметрию, связанную с возможной неточностью юстировки счетчиков 4, 5 и 6. В указанных пределах углов было зарегистрировано 1663 случая коррелированного рассеяния протонов.

Определение угловой зависимости поляризации протонов,
рассеянных на анализирующих мишениях

Для определения анализирующей способности вторичных мишеней на электронно-счетной машине подвергались отдельному анализу треки протонов, зарегистрированных либо только в левой, либо только в правой камерах. Угловая зависимость поляризации протонов определялась из статистического материала, полученного в эксперименте, по методу максимума правдоподобия. Для этого весь диапазон вторичного рассеяния протонов в каждой камере разбивался на несколько интервалов и для каждого из них функция правдоподобия записывалась в следующем виде:

$$L(a) = \prod_{i=1}^N (1+a_i \cos\phi_i), \quad (1)$$

где

$$a_i = P_0 P_j, \quad (2)$$

P_0 - поляризация протонов после первого рассеяния, P_j - анализирующая способность мишени под углом θ_j , $j = 1, 2, \dots, n$, n - число интервалов разбиения вторичного рассеяния, N - число случаев рассеяния протонов в одной камере, наблюдавшихся в интервале углов $\theta_j \pm \Delta\theta_j$, ϕ_i - азимутальный угол рассеяния i -го протона в камере. Углы θ_j и ϕ_i связаны с углами проекций трека на вертикальную (θ_1^i) и горизонтальную (θ_2^i) плоскости рассеяния следующими соотношениями:

$$\tan^2 \phi_i = \tan^2 \theta_1^i + \tan^2 \theta_2^i \quad (3)$$

$$\tan \theta_i = \tan \theta_1^i / \tan \theta_2^i. \quad (4)$$

Максимум функции $L(a_j)$ находится в точке наивероятнейшей величины a_j^* . Таким образом определение a_j^* сводится к нахождению экстремума функции $L(a_j)$. Практическое решение этой задачи сводится к поиску корня уравнения

$$\frac{\partial [\ln L(a_j)]}{\partial a_j} \Bigg|_{a_j^*} = \sum_{i=1}^N \frac{\cos \phi_i}{1 + a_j \cos \phi_i} = 0. \quad (5)$$

Для определения ошибки Δa_j^* используется формула

$$\Delta a_j^* = \sqrt{\frac{\int_1^1 (a_j - a_j^*)^2 L(a_j) da_j}{\int_1^1 L(a_j) da_j}}. \quad (6)$$

Значение поляризации P_j находится по формуле

$$\frac{a_j^* + \Delta a_j^*}{P_o + \Delta P_o} \cdot \frac{1}{1 - \beta - \gamma}, \quad (7)$$

где β и γ - поправки на вклад в рассеяние от углерода CH_2 и фона случайных совпадений, $P_o(45^\circ \text{ с.п.м.}) = 0,37 \pm 0,02$.

Результаты анализа всех случаев рассеяния протонов на анализирующих мишнях представлены на рис. 2. Значения поляризации P_1 и P_2 оказались близкими к величинам, ранее полученным в работах ^{11,12/}.

Кривые рис. 2 наилучшим образом аппроксимируются следующими функциями:

$$P_1(\theta) = \sin \theta [-6,10 + 19,60 \cos \theta - 21,14 \cos^2 \theta + 7,60 \cos^3 \theta] \cdot 10^3 \quad (8)$$

$$P_2(\theta) = \sin \theta [3,33 - 10,41 \cos \theta + 7,15 \cos^2 \theta]. \quad (9)$$

Средние значения поляризаций P_1 и P_2 , определенных на интервалах углов $8^\circ - 29^\circ$ и $30^\circ - 60^\circ$, соответственно равны $\bar{P}_1(8^\circ - 29^\circ) = 0,41 \pm 0,03$ и $\bar{P}_2(30^\circ - 60^\circ) = -0,24 \pm 0,04$.

Произведение средних значений поляризаций $\bar{P}_1 \bar{P}_2$ дает

$$\bar{P}_1 \bar{P}_2 = -0,098 \pm 0,018. \quad (10)$$

Величина

$$\frac{1}{1 + \frac{\Delta(\bar{P}_1 \bar{P}_2)}{\bar{P}_1 \bar{P}_2}} = \frac{1}{1 \pm 0,18} \quad (11)$$

определяет вклад ошибок $\Delta \bar{P}_1$ и $\Delta \bar{P}_2$ в ошибки ΔC_{nn} и ΔC_{kp} .

Как и в случае обработки статистического материала по поляризации, анализ событий коррелированного рассеяния протонов выполнялся также по методу максимума правдоподобия.

Исходной формулой для составления функции правдоподобия служит выражение /13,14/ для угловой зависимости коррелированного рассеяния двух протонов

$$\begin{aligned} \sigma(\theta_1, \phi_1, \theta_2, \phi_2) = & \sigma(\theta_1) \sigma(\theta_2) [1 + P_0(\theta_1) P_1(\theta_1) \cos \phi_1 + \\ & + P_0(\theta_2) P_1(\theta_2) \cos \phi_2 + C_{nn} P_1(\theta_1) P_2(\theta_2) \cos \phi_1 \cos \phi_2 + \\ & + C_{kp} P_1(\theta_1) P_2(\theta_2) \sin \phi_1 \sin \phi_2], \end{aligned} \quad (12)$$

где θ — угол первого рассеяния в с.ц.м., θ_1 и ϕ_1 , θ_2 и ϕ_2 — углы второго рассеяния на первой и второй анализирующих мишениях в л.с. соответственно.

Для одного акта коррелированного рассеяния члены в квадратной скобке выражения (12) имеют вид

$$\begin{aligned} p_i = & [1 + P_0 P_1(\theta_1^i) \cos \phi_1^i + P_0 P_2(\theta_2^i) \cos \phi_2^i + C_{nn} P_1(\theta_1^i) P_2(\theta_2^i) \times \\ & \cos \phi_1^i \cos \phi_2^i + C_{kp} P_1(\theta_1^i) P_2(\theta_2^i) \sin \phi_1^i \sin \phi_2^i]. \end{aligned} \quad (13)$$

По аналогии с (1) имеем

$$L(C_{nn}, C_{kp}) = \prod_{i=1}^N p_i, \quad (14)$$

где N — число корреляционных случаев рассеяния. Максимум функции (14) находится в точке, где $C_{nn} = C_{nn}^*$ и $C_{kp} = C_{kp}^*$ /14/. Для определения C_{nn}^* и C_{kp}^* удобно пользоваться выражением

$$\ln L = \sum_{i=1}^N \ln p_i. \quad (15)$$

Частные производные от (15) по C_{nn} и C_{kp} дают два уравнения для определения C_{nn}^* и C_{kp}^* .

$$\frac{\partial (\ln L)}{\partial C_{nn}} \Big|_{C_{nn}^*} = \sum_{i=1}^N \frac{P_1(\theta_1^i) P_2(\theta_2^i) \cos \phi_1^i \cos \phi_2^i}{p_i} = 0 \quad (16)$$

$$\frac{\partial (\ln L)}{\partial C_{kp}} \Big|_{C_{kp}^*} = \sum_{i=1}^N \frac{P_1(\theta_1^i) P_2(\theta_2^i) \sin \phi_1^i \sin \phi_2^i}{p_i} = 0. \quad (17)$$

Ошибки ΔC_{nn}^* и ΔC_{kp}^* находятся по формуле^{14/}

$$\Delta C^* = \frac{2}{\sqrt{N} \frac{P_1}{P_2}} . \quad (18)$$

Для анализа на электронно-счетной машине брались только те корреляционные случаи рассеяния, у которых углы Θ_1 и Θ_2 удовлетворяли условиями $8^\circ \leq \Theta_1 \leq 29^\circ$ и $30^\circ \leq \Theta_2 \leq 80^\circ$. В этих интервалах углов было зарегистрировано 1663 случая рассеяния. Подставляя в (18) $N = 1663$, $P_1 = 0,41$ и $P_2 = -0,24$, находим, что $\Delta C^* = 0,49$.

Для определения инструментальной ошибки использовались N^1 случаев некоррелированного рассеяния, которые были получены из N коррелированных событий путем комбинирования каждого i -случая рассеяния протона в одной камере с $i+1$, $i+2$ и т.д. случаями рассеяния протонов в другой камере^{14/}.

В результате анализа на электронно-счетной машине 1663 случая коррелированного рассеяния и учета инструментальной ошибки, величина которой не превышала 10% от $C_{\mu\nu}^*$, было получено

$$C_{nn}^* = +0,84 \pm 0,48 \quad (19)$$

$$C_{kp}^* = +0,68 \pm 0,49. \quad (20)$$

Поправки на случайный фон измерения δ и счет от углеродной мишени β , поставленной на место первого рассеивателя, а также ошибки в определении поляризации \bar{P}_1 и \bar{P}_2 учитывались по формуле:

$$C_{\mu\nu} = \frac{C_{\mu\nu}^* + \Delta C_{\mu\nu}^*}{(1-\delta-\beta)(1 + \frac{\Delta(\bar{P}_1 \bar{P}_2)}{\bar{P}_1 \bar{P}_2})} . \quad (21)$$

Подставляя в (21) численные значения параметров, полученных в контрольных опытах: $\delta = (4 \pm 1)\%$, $\beta = (3 \pm 1)\%$, а также величины: $\frac{\Delta(\bar{P}_1 \bar{P}_2)}{\bar{P}_1 \bar{P}_2} = 0,18$, $C_{\mu\nu}^*$ и $\Delta C_{\mu\nu}^*$ находим

$$C_{nn} \approx +0,80 \pm 0,51 \quad (22)$$

$$C_{kp} = +0,74 \pm 0,51 . \quad (23)$$

Фазовый анализ pp -рассеяния при энергии 310 Мэв

С учетом полученных значений коэффициентов спиновой корреляции C_{nn} и C_{kp} был выполнен фазовый анализ pp -рассеяния при энергии 310 Мэв. Варьировались оба набора фазовых сдвигов pp -рассеяния, ранее полученных в совместном фазовом анализе pr - и pp -данных при энергии 310 Мэв^{3/}. Найденные значения фазовых сдвигов

и рассчитанные по ним коэффициенты C_{nn} (45°) и C_{kp} (45°) представлены в таблицах 1 и 2.

Таблица № 1
Фазовые сдвиги в градусах для ℓ макс. = 3

Набор 1		Набор 2	
Работа	/3/	Работа	/3/
χ^2	32,1 ^{x)}		38,8 ^{x)}
f^2	$0,073 \pm 0,012$ ^{xx)}	$0,07 \pm 0,012$	$0,081 \pm 0,015$ ^{xx)}
1S_0	$-6,05 \pm 1,56$	$-6,22 \pm 1,59$	$-26,80 \pm 1,90$
3P_0	$-11,29 \pm 1,48$	$-11,18 \pm 1,53$	$-27,95 \pm 3,98$
3P_1	$-28,62 \pm 0,76$	$-28,20 \pm 0,87$	$-9,55 \pm 1,06$
3P_2	$16,38 \pm 0,55$	$18,78 \pm 0,59$	$21,22 \pm 1,30$
3D_2	$11,48 \pm 0,48$	$11,44 \pm 0,49$	$4,48 \pm 0,54$
ϵ_2	$-2,08 \pm 0,38$	$-1,80 \pm 0,40$	$-8,13 \pm 0,45$
3F_2	$1,12 \pm 0,60$	$1,51 \pm 0,65$	$-0,33 \pm 1,27$
3F_3	$-2,85 \pm 0,80$	$-3,13 \pm 0,67$	$-0,22 \pm 0,43$
3F_4	$3,15 \pm 0,32$	$3,21 \pm 0,38$	$3,15 \pm 0,72$

x) $\bar{\chi}^2 = 29$.

xx) Константа π -мезон-нуклонного рассеяния взята из работы ^{15/}.

Таблица № 2
Коэффициенты C_{nn} и C_{kp} , вычисленные по фазовым сдвигам

Набор 1		Набор 2	
Работа	/3/	Работа	/3/
C_{nn} (45°)	$0,81 \pm 0,01$	$0,81 \pm 0,01$	$0,31 \pm 0,03$
C_{kp} (45°)	$0,75 \pm 0,01$	$0,75 \pm 0,02$	$0,05 \pm 0,04$

Обсуждение результатов

Полученные в эксперименте значения коэффициентов спиновой корреляции содержат сравнительно большие ошибки. Это обстоятельство вызвано главным образом тем, что, как было обнаружено в опыте, протоны с энергией 29 Мэв слабо поляризуются при рассеянии на ядрах (см. рис. 2). Однако несмотря на большие ошибки измерения

C_{nn} и C_{kp} , учет этих величин в фазовом анализе pp -рассеяния при энергии 310 МэВ привел к некоторому изменению средних значений фазовых сдвигов p -волн во втором наборе (см. таблицу 1).

Вместе с тем, экспериментальное значение коэффициентов C_{nn} и C_{kp} позволяет получить непосредственную оценку относительной вероятности существования первого и второго наборов фаз рассеяния. В самом деле,

$$\begin{aligned} C_{nn} & - C_{nn}, 1 = 0,09 \pm 0,51 = \delta_1 \pm \Delta \delta_1 \\ C_{kp} & - C_{kp}, 1 = -0,01 \pm 0,51 = \delta_2 \pm \Delta \delta_2 \\ C_{nn} & - C_{nn}, 2 = 0,59 \pm 0,51 = \delta_3 \pm \Delta \delta_3 \\ C_{kp} & - C_{kp}, 2 = 0,69 \pm 0,51 = \delta_4 \pm \Delta \delta_4 . \end{aligned} \quad (24)$$

Составляя на основании этих данных отношение функций правдоподобия для первого и второго наборов фазовых сдвигов, получим:

$$\frac{\exp\left[-\frac{\delta_1^2}{2(\Delta \delta_1)^2} - \frac{\delta_2^2}{2(\Delta \delta_2)^2}\right]}{\exp\left[-\frac{\delta_3^2}{2(\Delta \delta_3)^2} - \frac{\delta_4^2}{2(\Delta \delta_4)^2}\right]} = \frac{\exp\left(-\frac{(0,09)^2 + (0,01)^2}{(0,51)^2 \cdot 2}\right)}{\exp\left(-\frac{(0,59)^2 + (0,69)^2}{(0,51)^2 \cdot 2}\right)} = 4,87, \quad (25)$$

то есть, если исходить из результата только данного эксперимента, то существование первого набора фазовых сдвигов примерно в пять раз более вероятно, чем второго набора, хотя по χ^2 -критерию оба набора примерно равновероятны.

Для однозначного выбора фазовых сдвигов необходимо заметно уточнить коэффициенты C_{nn} и C_{kp} с тем, чтобы существенно увеличить отношение функций правдоподобия (25). Учитывая, что в настоящее время имеются определенные успехи в создании водородосодержащих поляризованных мишеней, будет целесообразно, по-видимому, проводить дальнейшее уточнение коэффициентов спиновой корреляции на поляризованном пучке протонов, используя поляризованную мишень. Вместе с тем желательны также измерения коэффициентов R , D и A на углах $> 90^\circ$ с.ц.м., где эти параметры, вычисленные по фазовым сдвигам первого и второго наборов, сильно отличаются друг от друга.

В заключение авторы выражают благодарность С.Н. Соколову, В.И. Никанорову, И.Быстрицкому и А.М. Розановой за помощь в работе; Г.С. Ревенко, В.Ф. Писареву, А.И. Егорову, В.Ф. Устинову и В.М. Саковскому за монтаж аппаратуры и помошь в проведении экспериментов; Р.И. Заплатиной, М. Углиржовой, В.В. Уклейкиной и В.А. Максимовой

за просмотр фотопленки. Авторы благодарят также коллектив сотрудников фотолаборатории за проявление большого количества пленки.

Л и т е р а т у р а

1. H.P.Stapp, T.J.Ypsilantis, N.Metropolis. *Phys. Rev.*, 105, 302 (1957).
2. P.Cziffra, M.H.Mac Gregor, M.J.Moravcsik, H.P.Stapp. *Phys. Rev.*, 114, 880 (1959).
3. Ю.М. Казаринов, И.Н. Силин. ЖЭТФ, 43, 1385, 1962.
4. A.Ashmore, A.N.Diddens, G.B.Huxtable, K.Skarsvag. *Proc. Phys. Soc.*, 72, 289 (1958); 74, 482 (1959).
5. И.М. Василевский, В.В. Вишняков, Э.Илиеску, А.А. Тяпкин. ЖЭТФ, 39 889, 1960; 45, 474, 1963.
6. Ю.М. Казаринов, И.Н. Силин. Препринт ОИЯИ, Р-1011, Дубна, 1962.
7. Ф.Легар, В.И.Никаноров, Г.Петер, А.Ф.Писарев. Препринт ОИЯИ, Р-1449, Дубна, 1964.
8. Н.П.Клепиков, С.Н.Соколов. Препринт ОИЯИ, Р-235, Дубна, 1958.
9. Д.Орир. Препринт ОИЯИ, Р-292, 1959.
10. O.Chamberlain, E.Serge, R.D.Tripp and T.Ypsilantis. *Phys. Rev.*, 105, 288 (1957).
11. R.Graig, I.C.Dore, G.W.Greenlees, I.S.Lilley and P.C.Rowe. *Phys. Lett.*, 3, 301 (1963).
12. O.Chamberlain, E.Serge, R.Tripp, C.Wiegand, T.Ypsilantis. *Phys. Rev.*, 102, 1659 (1956).
13. Р.М. Рындик. Кандидатская диссертация, Дубна 1957 г.
14. E.Engls, Ir.T.Bowen, I.V.Cronin, R.L.McIlwain, Lee G.Pondrom. *Phys. Rev.*, 129, 1858 (1963).
15. Ю.М. Казаринов, В.С.Киселев, И.Н.Силин. ЖЭТФ, 45, 637, 1963.
16. F.Bjorklund, L.Blandford, S.Fernbach. *Phys. Rev.*, 108, 795 (1957).

Рукопись поступила в издательский отдел
28 марта 1964 г.

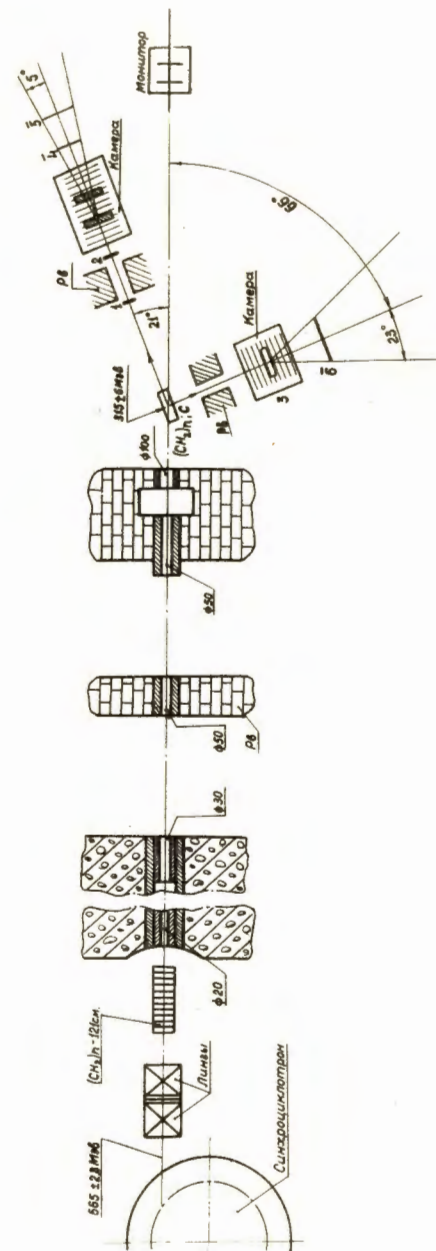


Рис. 1. Схема эксперимента.

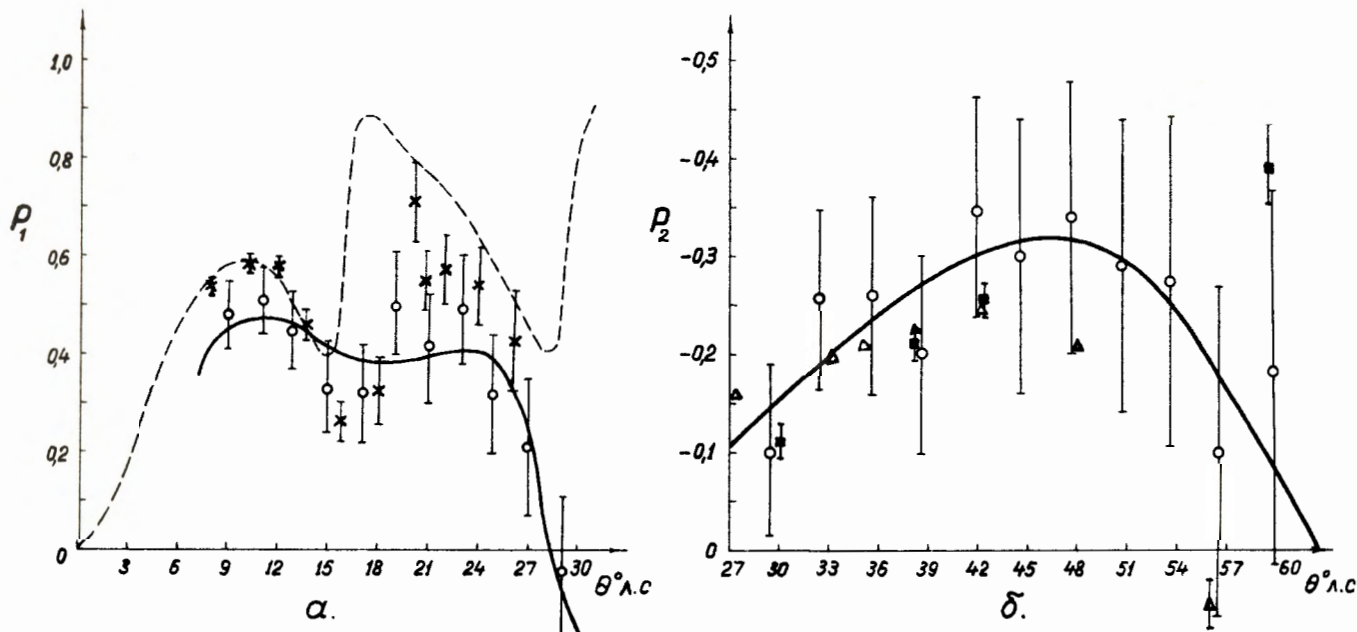


Рис. 2. Угловая зависимость поляризации протонов при рассеянии на анализирующих мишенях.

а) Рассеяние протонов на алюминии. \circ - рассеяние с энергией 265 Мэв (настоящая работа); \times - упругое рассеяние с энергией 287 Мэв^{12/}. Пунктирная кривая вычислена для упругого p - Al рассеяния при энергии 287 Мэв.

б) Рассеяние протонов на углероде. \circ - рассеяние со средней энергией 29 Мэв (настоящая работа); Δ - упругое и \circ - неупругое ($Q = -4,4$ Мэв) рассеяние с энергией 28 Мэв^{11/}. Сплошные кривые проложены по экспериментальным точкам настоящей работы методом наименьших квадратов.